

Коллективные эффекты в столкновениях ультрарелятивистских ядер

Мартин Киракосян

Физический институт им. П.Н.Лебедева Российской академии наук

17 декабря 2014 г.

Содержание доклада

(I) Введение

(I) Введение

- Столкновения ультрарелятивистских ядер (общая информация)
- Коллективные свойства (more is different)
- Стадии состояния вещества

(I) Введение

- Столкновения ультрарелятивистских ядер (общая информация)
- Коллективные свойства (more is different)
- Стадии состояния вещества

(II) Излучение черенковских глюонов

(I) Введение

- Столкновения ультррелятивистских ядер (общая информация)
- Коллективные свойства (more is different)
- Стадии состояния вещества

(II) Излучение черенковских глюонов

- Экспериментальные данные
- Сведения о теории черенковском излучении
- Модель (черенковские глюоны)

(I) Введение

- Столкновения ультррелятивистских ядер (общая информация)
- Коллективные свойства (more is different)
- Стадии состояния вещества

(II) Излучение черенковских глюонов

- Экспериментальные данные
- Сведения о теории черенковском излучении
- Модель (черенковские глюоны)

(III) Турбулентная кварк-глюонная плазма

(I) Введение

- Столкновения ультррелятивистских ядер (общая информация)
- Коллективные свойства (more is different)
- Стадии состояния вещества

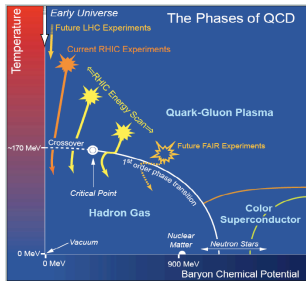
(II) Излучение черенковских глюонов

- Экспериментальные данные
- Сведения о теории черенковском излучении
- Модель (черенковские глюоны)

(III) Турбулентная кварк-глюонная плазма

- Основные сведения
- Аномальные транспортные свойства турбулентной плазмы
- Поляризационные свойства

Столкновения ядер. Мотивация



- Теоретическая

Как ведут себя калибровочные теория поля (КХД в частности) при больших числа заполнения?

- Космогоническая

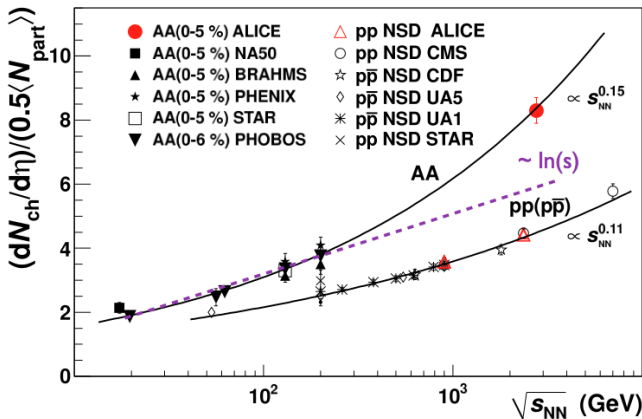
Состояние материи, образующейся в столкновениях ядер дает представление о материи, образующейся в первые мгновения после Большого Взрыва.

- История (80-е)
 - AGS (Alternating Gradient Synchrotron), BNL, Брукхевен, США
 - ядерная программа SPS (Super Proton Synchrotron), CERN, Женева, Швейцария
- Современность
 - с 2000-го года, RHIC (Relativistic Heavy Ion Collider, в основном Au-Au, максимальная энергия: 200 ГэВ/нуклон), Брукхевен
 - с 2010 года, LHC (Large Hadron Collider, Pb-Pb, максимальная энергия: 2,76 ТэВ/нуклон), ЦЕРН
- Будущее
 - FAIR, NICA ... ??

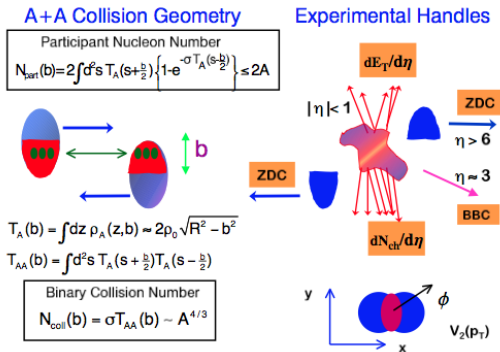
Столкновение ядер (множественность)

Число заряженных частиц на RHIC и LHC:

- RHIC (при $\sqrt{s_{NN}} = 200$ ГэВ): вплоть до 5500 заряженных частиц
- LHC (при $\sqrt{s_{NN}} = 2,76$ ТэВ): вплоть до 13000



Модель Глаубера



Предел раненных нуклонов в модели Глаубера многократного рассеяния:

$$\bar{w}_{A,B,b} = \int d^2b T_A(s + b/2) \left(1 - [1 - T_B(s - b/2) \sigma_{in}]^B \right)$$

Таким образом, множественность:

- Жестких наблюдаемых (маленькие сечения)

$$N_{ch.hard} \sim N_{coll} \sim A^{4/3}$$

- Мягких наблюдаемых (большие сечения) $N_{ch.soft} \sim N_{part} \sim A$

N_{coll} - число бинарных столкновений при заданной центральности

N_{part} - число участников столкновения в обоих ядрах

Экспериментальный факт:

- $dN_{ch}/d\eta|_{\eta=0} \sim N_{coll}$

- $N_{ch} \sim N_{part}$

Определение

Гашение струй - эффект подавления адронов с большими поперечными импульсами в столкновениях ядер в сравнении со столкновениями протонов.

Сравнить адронные наблюдаемые с протонными наблюдаемыми можно посредством формулы:

$$R_{AB}(p_{\perp}) = \frac{1}{\bar{N}_{coll}} \frac{d^2 \bar{N}_{AB}}{dp_T d\eta} \bigg/ \frac{1}{\sigma_{tot}^{pp}} \frac{d^2 \sigma_{incl}^{pp}}{dp_{\perp} d\eta}$$

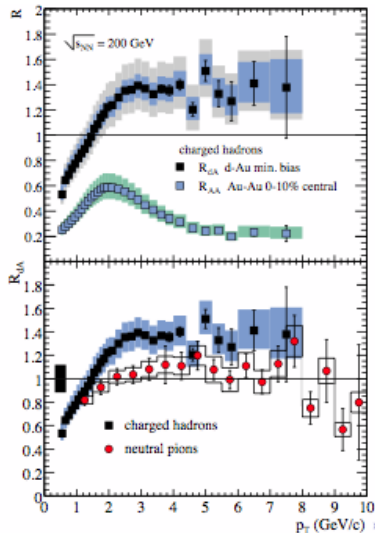
Если бы столкновения ядер представляли собой суперпозицию столкновений протонов, то можно было бы ожидать, что фактор ядерной модификации будет порядка:

$$R_{AB} \sim 1$$

На самом же деле ...

Характеристики эффекта:

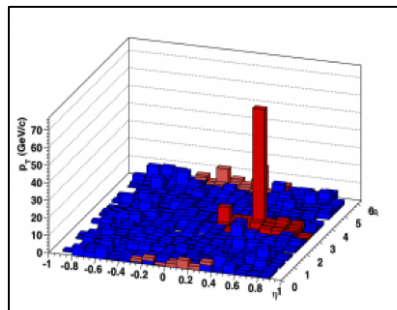
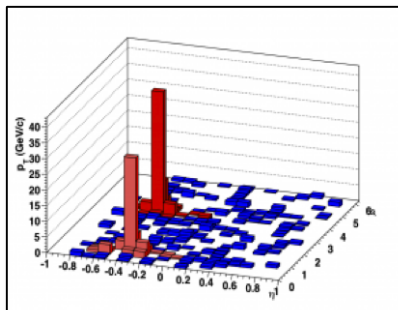
- Подавление не наблюдается в столкновениях pA, dA...
- Наиболее сильно выражен в центральных столкновениях ядер.
- Не наблюдается в периферических столкновениях.
- Нет подавления лептонных проб.

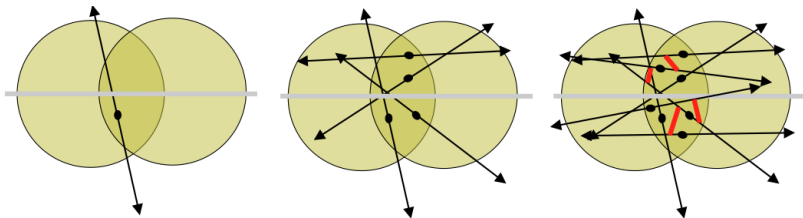


- Жесткий партон проходит сквозь среду кварков и глюонов, образовавшейся в результате столкновения. Взаимодействие жесткого партона с кварками и глюонами среды приводит к потерям энергии.
- Энергия теряется на столкновения, поляризацию, радиацию.
- Расчет показывает, что в рамках пертурбативной КХД преобладающие потери – потери на радиационное излучение глюонов.

Гашение струй (LHC)

На LHC подавление струй можно наблюдать непосредственно в одном событии:



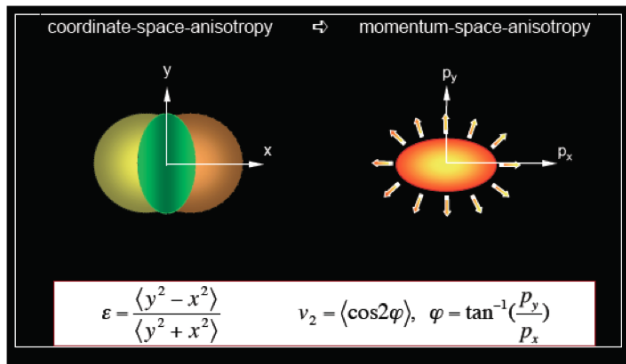


$$E \frac{dN}{d^3p} = \frac{1}{2\pi} \frac{d^2N}{p_T dp_T d\eta} [1 + 2v_2(p_T) \cos(2(\phi - 2\psi_{r.p.}))]$$

Существует некоторое количество методов выделения v_2 . Можно выделить две группы методов:

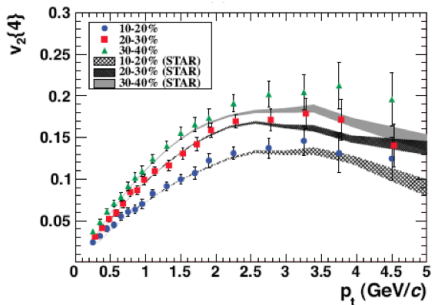
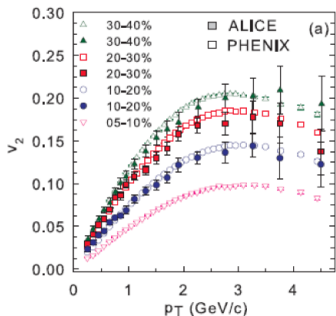
- Использования n -частичных корреляций в центральной области псевдобыстрот для выделения эллиптического потока.
- Определение угла $\psi_{r.p.}$ плоскости реакции используя информацию о распределений частиц в области с большими псевдобыстродами.

Коллективные потоки, v_2 (объяснение эффекта)



- 1 Анизотропия поперечных импульсов наследует анизотропию давлений в распределении начального состояния.
- 2 Эволюция вещества описывается гидродинамикой (вязкой).
- 3 Большая вязкость \rightarrow начальная анизотропия размажется \rightarrow коллективных потоков нет

Коллективные потоки, v_2 (эксперимент)



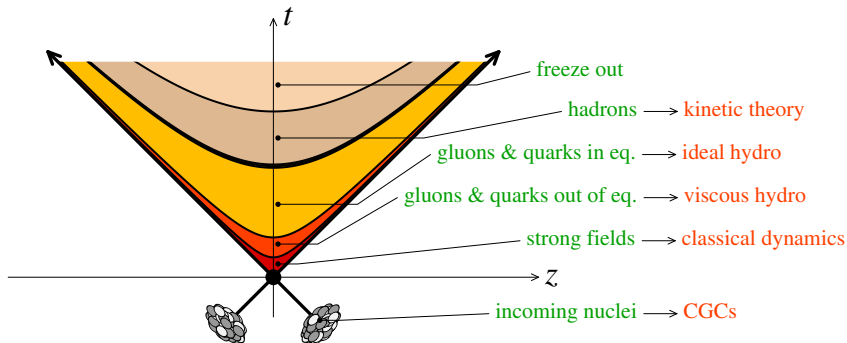
Результаты численного моделирования уравнений гидродинамики показывают, что вязкость практически нулевая. То есть в результате столкновения ядер образуется практически идеальная жидкость.

Ниже кратко перечислены коллективные эффекты не рассмотренные во введении:

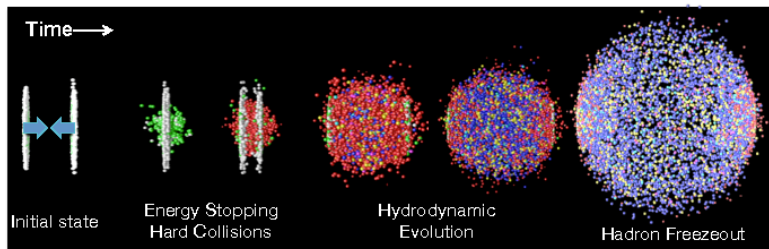
- Эффект хребта (ridge-эффект, AA, pp!)
- Потоки высших порядков
- Радиальный поток
- НВТ (Hanbury, Brown, Twiss) интерферометрия

Стадии состояния вещества

На рисунке ниже представлены стадии которые проходит вещество, образовавшееся в результате столкновения ядер, в зависимости от собственного времени после столкновения согласно современным теоретическим представлениям:



Стадии состояния вещества (порядки времен)



- $\tau < 0$ - конденсат цветного стекла
- $\tau \sim 0 - 0.2$ fm/c - классическая динамика
- $\tau \sim 0.2 - 1$ fm/c - неравновесная материя кварков и глюонов
- $\tau \sim 1 - 10$ fm/c - плазма кварков и глюонов
- $\tau \sim 10 - 20$ fm/c - газ адронов
- $\tau \sim 20$ fm/c - freeze-out, частицы свободно летят в детектор

Черенковское излучение глюонов (история)

Идея возникла еще в 70-е годы у И. М. Дремина при исследовании кольцевых структур в событиях на космических лучах.

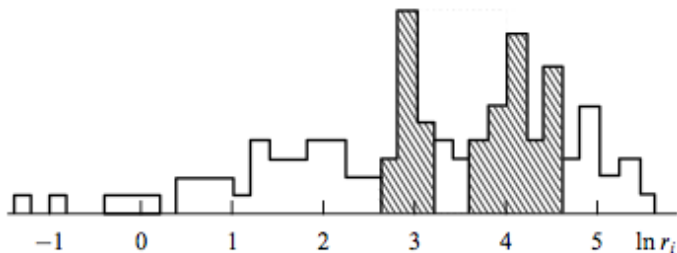


Рис. 5. Распределение числа рождённых частиц на разных расстояниях от оси события r в стратосферном событии при 10^{16} эВ [136], которое имеет два выраженных пика. Соответственно распределение по псевдобыстроте также имеет два таких пика.

Черенковское излучение глюонов (условия)

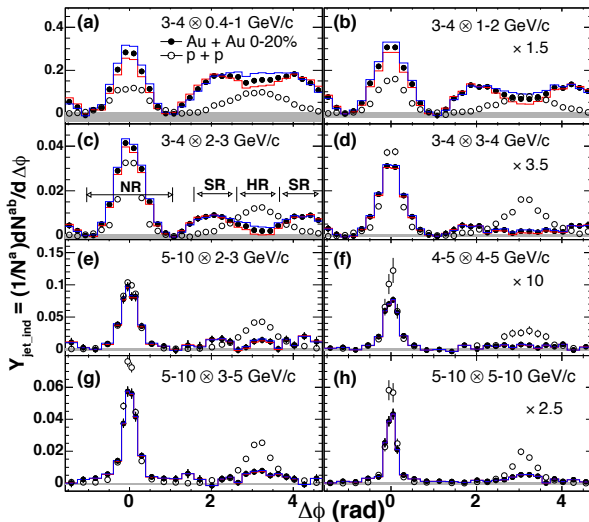
- 1 Излучение черенковских глюонов \Leftrightarrow реальная часть хромоэлектрической проницаемости больше 1.
- 2 Реальная часть $Re \varepsilon > 1 \Rightarrow$ в веществе имеются связанные состояния. Для неплотной материи:

$$Re \Delta \varepsilon = Re \varepsilon - 1 = \frac{4\pi N_s Re F_0(\omega)}{\omega^2} = \frac{N_s \sigma(\omega) \rho(\omega)}{\omega}$$

- 3 Достаточным условием излучения черенковских глюонов будет наличие в среде резонансов на одной из стадий столкновения.
- 4 Вычисление поляризации сильновзаимодействующей среды из первых принципов представляется практически неразрешимой задачей.
- 5 Следует отметить, что цветная реальная часть проницаемости газообразной кваркглюонной плазмы меньше 1:

$$Re \varepsilon(\omega) \sim 1 - \frac{m_D^2}{\omega^2}$$

Данные с RHIC, двугорбая структура структура



- 1 Вычисление поляризации из первых принципов невозможно \Leftrightarrow феноменологическая модель.
- 2 Можно попробовать ввести феноменологический параметр хромоэлектрической проницаемости и попытаться промоделировать излучение.
- 3 Сравнить с экспериментом.

Пусть проницаемость имеет реальную и мнимую часть:

$$\varepsilon(\omega, \mathbf{k}) = \varepsilon_1(\omega, \mathbf{k}) + i\varepsilon_2(\omega, \mathbf{k})$$

Тогда формула для распределения черенковского излучения имеет вид:

$$\frac{1}{\omega} \frac{d^3W}{dzd\omega d\cos\theta} = \frac{2C_{V(A)}g^2}{\pi} \frac{\cos\theta(1 - \cos^2\theta)\Gamma(\omega)}{(\cos^2\theta - \zeta(\omega))^2 + \Gamma^2(\omega)}$$

где:

$$\zeta = \frac{\varepsilon_1}{\varepsilon_1^2 + \varepsilon_2^2}$$

$$\Gamma = \frac{\varepsilon_2}{\varepsilon_1^2 + \varepsilon_2^2}$$

Модель для оценки зависимости распределений от параметров среды: Первичные частицы (как триггерная так и обратная) рассеиваются в направлении перпендикулярном оси столкновений.

Переход от координат связанных с частицей к координатам используемым в эксперименте:

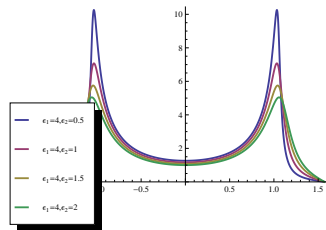
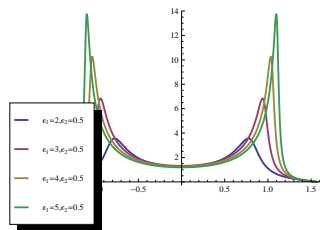
$$\cos \theta = |\sin \theta_L \cos \phi_L|$$

где ϕ_L - азимутальный угол в плоскости перпендикулярной оси столкновений, θ_L - угол с осью столкновений В этих координатах излучение глюонов имеет вид:

$$\frac{d^4 N}{d\omega d\phi_L d \cos \theta_L} = \frac{4\alpha_s C_{V(A)}}{\pi} \frac{|\sin \theta_L \cos \phi_L (1 - \sin^2 \theta_L \cos^2 \phi_L)| \Gamma(\omega)}{(\sin^2 \theta_L \cos^2 \phi_L - \zeta(\omega))^2 + \Gamma^2(\omega)}$$

Зависимость распределений от параметров

Интегрирование удастся провести аналитически.



- При $\epsilon_2^2 \ll \epsilon_1^2$ положение максимума определяется ϵ_1 , а ширина ϵ_2
- Распределение 0 при $\phi_L > \frac{\pi}{2}$

Для генерации черенковского спектра необходимо:

- 1 Описать кинематику распределения пар начальных партонов
- 2 Осуществить процедуру генерации спектра черенковских глюонов с учетом распределения источников
- 3 Описать адронизацию глюонов в адроны и учесть экспериментальное ограничение на псевдобыстроты, азимутальный угол и поперечные импульсы адронов
- 4 Нужно определиться с зависимостью $\varepsilon_{1,2}$ от ω
- 5 Попытаться учесть эффекты многократного рассеяния в среде

- 1 Модель среды: $\varepsilon_{12}(\omega) = \varepsilon_{12}\theta(\omega_{max} - \omega)$
- 2 Первичные партоны - РYTHIA (протоны 200 ГэВ)
- 3 Монте-Карло процедура генерации собственно черенковских глюонов
- 4 Фрагментация в легкие адроны:

$$D_g^h(x, \mathbf{p}_\perp | Q^2) \propto D_g^h(x, | Q^2) \frac{1}{\sqrt{2\pi\Delta_\perp^2}} \exp\left\{-\frac{\mathbf{p}_\perp^2}{2\Delta_\perp^2}\right\}$$

Δ_\perp характеризует размытие за счет многократного рассеяния и при фрагментации в адроны.

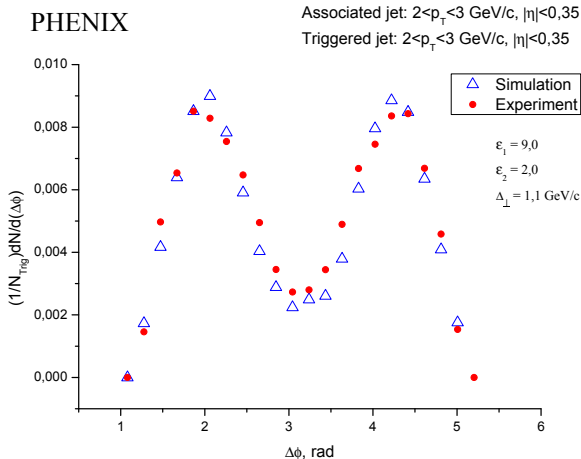
- 5 Нормировка по левому максимуму.

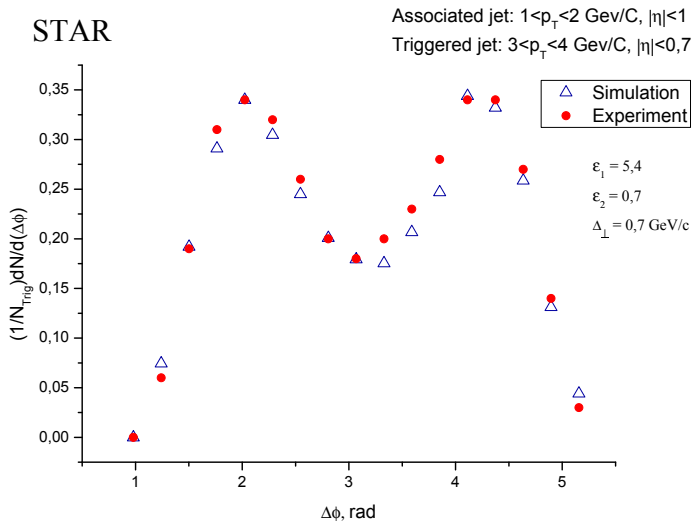
- Не учитывается каскадное излучение глюонов и кварков в начальном и конечном состоянии
- Дисперсионные зависимости компонент хромопрозрачности
- Детальная геометрия среды
- Детальная картина многократного рассеяния

Таким образом, приведенные на следующих слайдах значения параметров среды представляют собой всего лишь оценку.

Параметры модели, график

Модель содержит четыре параметра: $\varepsilon_{1,2}$, Δ_{\perp} , ω_{max} . Подбирая параметры можно получить:





Альтернативные объяснения двухгорбой структуры

- Гидродинамика (конус Маха)
- Флуктуации плотности начального состояния

Квазиклассическая оценка.

- Модель среды

$$\varepsilon(\omega) = \begin{cases} \varepsilon_0, & \text{если } \omega \leq \omega_0 \text{ ГэВ} \\ 0 & \text{если } \omega > \omega_0 \text{ ГэВ} \end{cases}$$

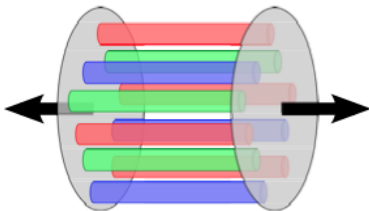
Формула потерь,

$$\frac{dE}{dz} = C_{F(V)} \frac{1}{0.1973} \alpha_s \int_0^{\omega_0} \omega (1 - 1/\varepsilon_0) d\omega$$

- Сильная зависимость от ω_0 , большие величины потерь!

Определение

Глазма - продольная конфигурация цветных полей, образующаяся сразу после столкновения ядер.



- Было показано (Venugopalan и Romatschke), что глазменная конфигурация неустойчива относительно квантовых флуктуаций.
- Результат развития неустойчивостей (численное моделирование, К. Fukushima, F. Gelis) – турбулентная конфигурация, характеризующаяся колмогоровским спектром.

Источники неустойчивостей в плазме:

- 1 Кинетические неустойчивости - неоднородности в распределениях по импульсам
- 2 Гидродинамические неустойчивости - неоднородности пространственного распределения частиц

Конфигурация среды на ранних стадиях столкновения существенно анизотропна \Rightarrow неизбежно возникновение кинетической неустойчивости Вайбеля.

- Неустойчивости Вайбеля по всей видимости наиболее важны в столкновениях ядер.
- Динамика неустойчивости \Rightarrow развитие турбулентности (Arnold, Moore).

Сдвиговая вязкость и турбулентность

- Малая вязкость \Rightarrow сильное взаимодействие между частицами
- Частицы плазмы могут взаимодействовать посредством случайных турбулентных полей (вычисление, Asakawa, Bass, Muller)

Вязкость связана с длиной свободного пробега приближенным выражением:

$$\eta \sim 1/3 \bar{N} \bar{p} \lambda_f$$

\bar{p} - средний импульс, \bar{N} - средняя плотность, λ_f - средняя длина свободного пробега. Используя выражения для транспортного сечения в КГП:

$$\sigma_{tr} \approx \frac{5g^4}{4\bar{p}^2} \log \frac{4\pi}{g}$$

Можно получить оценку (обычная КГП):

$$\eta \approx \frac{T}{\sigma_{tr}} = \frac{18\pi s}{25g^4 \log 4\pi g}$$

Сдвиговая вязкость и турбулентность (оценка)

Определение

Длина свободного пробега - длина, на которой средней импульс частицы меняется на величину порядка импульса

Если длина корреляции турбулентных полей в плазме l , а Q_a цветной заряд частицы, то импульс изменяется на величину:

$$\Delta p \sim gQ^a F^a l$$

Длина свободного пробега:

$$\lambda = l \left\langle \frac{\bar{p}}{\Delta p} \right\rangle = \frac{\bar{p}^2}{g^2 Q^2 \langle F^2 \rangle l}$$

Турбулентная сдвиговая вязкость:

$$\eta \sim \frac{9sT^3}{4g^2 Q^2 \langle F^2 \rangle l}$$

Кинетическая теория неабелевой плазмы

Одночастичная функция распределения $f(x, p, Q)$ зависит от координат, импульсов и цветных зарядов.

Удобно рассматривать заряды Q_a - динамические переменные. Скобки Пуассона:

$$\{Q_a, Q_b\}_{P.B.} = f_{abc} Q_c$$

Элемент фазового объема для Q :

$$dQ = c_r dQ^1 \dots dQ^m \delta(Q^a Q_a - q_2) \dots \delta(d_{a_1 \dots a_k} Q^{a_1} Q^{a_2} \dots Q^{a_k} - q_k)$$

Для импульсов - $dP = d^4 p 2\theta(p^0) \delta(p^2 - m^2)$

Динамические переменные подчиняются уравнениям Вонга:

$$m \frac{dx}{d\tau} = p^\mu$$

$$m \frac{dp^\mu}{d\tau} = g Q^a F_a^{\mu\nu}(x) p_\nu$$

$$m \frac{Q^a}{d\tau} = -g f^{abc} p^\mu A_\mu^b(x) Q^c$$

Зная функцию распределения $f(p, x, Q)$ можно вычислить:

- Цветной ток, генерируемый частицами плазмы:

$$j_{\mu}^a = g \int dP dQ p_{\mu} Q^a f(x, p, Q)$$

- Тензор энергии-импульса частиц плазмы:

$$T^{\mu\nu} = \int dQ dP p^{\mu} p^{\nu} f(x, p, Q).$$

- Тензор поляризуемости плазмы:

$$\Pi_{\mu\nu}^{ab} = \frac{\delta j_{\mu}^a}{\delta A_b^{\nu}},$$

Кинетическое уравнение неабелевой плазмы

Воспользовавшись уравнениями Вонга можно получить

$$\frac{df(p(\tau), x(\tau), Q(\tau))}{d\tau} = p^\mu \left(\partial_\mu - gf^{abc} A_\mu^b Q^c \frac{\partial}{\partial Q^a} - gQ_a F_{\mu\nu}^a \frac{\partial}{\partial p_\nu} \right) f(x, p, Q) = C[f]$$

Самосогласованные поля плазмы выражаются через функцию распределения:

$$D_\mu^{ab} F_b^{\mu\nu} = j^{a\nu}(x)$$

Равновесная функция распределения (при нулевом химическом потенциале):

$$f_{BE} = \frac{1}{\exp\left(\frac{p_0}{k_B T}\right) - 1}$$

$$f_{FD} = \frac{1}{\exp\left(\frac{p_0}{k_B T}\right) + 1}$$

- Турбулентность \Rightarrow наличие случайных полей в плазме

Потенциал калибровочного поля, регулярная и турбулентная компоненты ($\langle A_\mu^{Ta} \rangle = 0$):

$$A_\mu^a = A_\mu^{Ra} + A_\mu^{Ta}$$

Функция распределения:

$$f(p, x, Q) = f^R(p, x, Q) + f^T(p, x, Q)$$

$$\langle f(x, p, Q) \rangle = f^R(x, p, Q), \quad \langle f^T(x, p, Q) \rangle = 0$$

При калибровочных преобразованиях:

$$\delta A_\mu^{Ra} = \partial_\mu \alpha^a + g f^{abc} A_\mu^{Rb} \alpha^c$$

$$\delta A_\mu^{Tb} = g f^{abc} A_\mu^{Tb} \alpha^c$$

Удобно ввести обозначения:

$$F_{\mu\nu}^a = F_{\mu\nu}^{Ra} + \mathbf{F}_{\mu\nu}^{Ta} + \mathcal{F}_{\mu\nu}^{Ta}$$

где:

$$F_{\mu\nu}^{Ra} = \partial_\mu A_\nu^{Ra} - \partial_\nu A_\mu^{Ra} + gf^{abc} A_\mu^{Rb} A_\nu^{Rc}$$

$$\mathcal{F}_{\mu\nu}^{Ta} = \partial_\mu A_\nu^{Ta} - \partial_\nu A_\mu^{Ta} + gf^{abc} A_\mu^{Tb} A_\nu^{Tc}$$

$$\mathbf{F}_{\mu\nu}^{Ta} = gf^{abc} \left(A_\mu^{Tb} A_\nu^{Rc} + A_\mu^{Rb} A_\nu^{Tc} \right)$$

Коррелятор калибровочного потенциала и калибровочно инвариантный коррелятор полей:

$$\langle A_\mu^{Ta}(x) A_\nu^{Tb}(y) \rangle = G_{\mu\nu}^{ab}(x, y)$$

$$\langle \mathcal{F}_{\mu\nu}^{Ta}(x) U^b(x, y) \mathcal{F}_{\mu'\nu'}^{Tc}(y) \rangle = K_{\mu\nu\mu'\nu'}^{ab}(x, y)$$

Статистически однородные корреляции:

$$K_{\mu\nu\mu'\nu'}^{ab}(x, y) = K_{\mu\nu\mu'\nu'}^{ab}(x - y)$$

$$G_{\mu\nu}^{ab}(x, y) = G_{\mu\nu}^{ab}(x - y)$$

Параметризация коррелятора турбулентных полей:

$$K_{\mu\nu\mu'\nu'}^{ab}(x) = \langle F_{0\mu\nu}^a F_{0\mu'\nu'}^b \rangle \exp \left[-\frac{\mathbf{r}^2}{a^2} - \frac{t^2}{\tau^2} \right]$$

Изотропный турбулентный сценарий:

$$\langle E_i^a E_j^b \rangle = \frac{1}{3} \delta^{ab} \delta_{ij} \langle E^2 \rangle$$

$$\langle B_i^a B_j^b \rangle = \frac{1}{3} \delta^{ab} \delta_{ij} \langle B^2 \rangle$$

$$\langle E_i B_j \rangle = 0$$

- 1 Ищется решение кинетического уравнения в виде:

$$f(p, x, Q) = f^{eq}(p) + \delta f(x, p, Q)$$

- 2 В лидирующем порядке по самосогласованному калибровочному полю плазмы:

$$\delta f(k, p, Q) = \frac{1}{i((pk) + i\varepsilon)} Q_a p^\mu \frac{\partial}{\partial p_\nu} F_{\mu\nu}^a(k) f^{eq}(p)$$

- 3 Используя определение поляризаационного тензора:

$$\begin{aligned} \Pi_{ab}^{\mu\nu} &= \frac{2}{(2\pi)^3} g^2 \int dQ Q_a Q_b \int d\Omega_{\mathbf{v}} \frac{-(v\mathbf{k})v^\mu g^{\nu 0} + k^0 v^\mu v^\nu}{(v\mathbf{k}) + i\varepsilon} \\ &\times \left(- \int p^2 \frac{df^{eq}(p)}{dp} dp \right) \end{aligned}$$

Поляризация кварк-глюонной пазмы (ответ)

- Вследствие калибровочной инвариантности и изотропии лишь две компоненты тензора независимы: Π_L и Π_T
- Цветных индексы факторизуются: $\int dQ Q_a Q_b \sim \delta_{ab}$

$$\Pi_{ab}^{00}(k_0, \mathbf{k}) = \delta_{ab} \frac{|\mathbf{k}|^2}{k_0^2} \Pi_L(k_0, \mathbf{k})$$

$$\Pi_{ab}^{0i}(k_0, \mathbf{k}) = \delta_{ab} \frac{k^i}{k_0} \Pi_T(k_0, \mathbf{k})$$

$$\Pi_{ab}^{ij} = \delta_{ab} \left[\left(\delta^{ij} - \frac{k^i k^j}{|\mathbf{k}|^2} \right) \Pi_T(k_0, \mathbf{k}) + \frac{k^i k^j}{|\mathbf{k}|^2} \Pi_L \right]$$

$$\Pi_L^{\text{HTL}} = -m_g^2 x^2 \left[1 - \frac{x}{2} L(x) \right]$$

$$\Pi_T^{\text{HTL}} = m_g^2 \frac{x^2}{2} \left[1 + \frac{1}{2x} (1 - x^2) L(x) \right]$$

где: $L(x) \equiv \ln \left| \frac{1+x}{1-x} \right| - i\pi\theta(1-x)$ а $m_D^2 = g^2/3(N + N_2) T^2$

Поляризация турбулентной плазмы (схема вычисления)

Для вычисления поляризации необходимо:

- 1 Начать с кинетического уравнения.
- 2 Раскладывать все поля, потенциалы и распределения по степеням регулярного поля и степеням турбулентного поля.
- 3 Замкнуть уравнения, воспользовавшись уравнениями движения
- 4 Усреднить и отбросить высшие корреляторы (предел слабой турбулентности)
- 5 Проинтегрировать по фазовому объему для нахождения индуцированных токов
- 6 Получить выражение для поляризационного тензора из определения

Воспользовавшись этой схемой можно после длительного вычисления получить выражение для поляризации в длинноволновом ($|\mathbf{k}|l \ll 1$ ответ получен в первых двух порядках по градиентному разложению) пределе слабой турбулентности ($g^2 \langle E^2 \rangle l / |\mathbf{k}| T^2 \ll 1$).

Поляризация турбулентной плазмы (ответ)

Градиентное разложение:

$$\Pi_{L(T)}^{\text{turb}}(\omega, |\mathbf{k}| | l) = \sum_{n=1}^{\infty} \frac{(|\mathbf{k}| l)^n}{\mathbf{k}^2} \left[\phi_{L(T)}^{(n)} \left(\frac{\omega}{|\mathbf{k}|} \right) \langle E^2 \rangle + \chi_{L(T)}^{(n)} \left(\frac{\omega}{|\mathbf{k}|} \right) \langle B^2 \rangle \right]$$

$$\phi_{IT}^{(1)}(x) = \frac{i C_{q(g)}}{6\pi\sqrt{\pi}} 2x \left[\frac{4 + 10x^2 - 6x^4}{3(1-x^2)} + x(1-x^2) L(x) \right]$$

$$\phi_{IL}^{(1)}(x) = -\frac{i C_{q(g)}}{6\pi\sqrt{\pi}} \frac{8x^3}{3(1-x^2)^2}$$

$$\chi_{IT}^{(1)}(x) = \frac{i C_{q(g)}}{6\pi\sqrt{\pi}} 4x \left[\frac{-2 + 6x^2}{3(1-x^2)} + x L(x) \right]$$

$$\chi_{IL}^{(1)}(x) = -\frac{i C_{q(g)}}{6\pi\sqrt{\pi}} \frac{8x^3}{3(1-x^2)^2}$$

$$\phi_{IT}^{(2)}(x) = \frac{C_{q(g)}}{6\pi^2} x \left[\frac{22}{3}x + 4x^3 + (1 + 3x^2 + 2x^4) L(x) \right]$$

$$\phi_{IL}^{(2)}(x) = \frac{C_{q(g)}}{6\pi^2} 2x^3 \left[\frac{2x}{1-x^2} + L(x) \right]$$

$$\chi_{IT}^{(2)}(x) = \frac{C_{q(g)}}{6\pi^2} x \left[14x + (1 - 7x^2) L(x) \right]$$

$$\chi_{IL}^{(2)}(x) = \frac{C_{q(g)}}{6\pi^2} 2x \left[\frac{6x - 4x^3}{1-x^2} + (1 - 2x^2) L(x) \right]$$

$$\phi_{IIT}^{(2)}(x) = \frac{C_{q(g)}}{6\pi^2} \left[\frac{2}{3}x^2 - 4x^4 - x(1 + x^2 - 2x^4) L(x) \right]$$

$$\phi_{IIL}^{(2)}(x) = \frac{C_{q(g)}}{6\pi^2} \left[4x^2 - 2x^3 L(x) \right]$$

Для кварков:

$$C_q = g^4 N_q \frac{N^2 - 1}{4N}$$

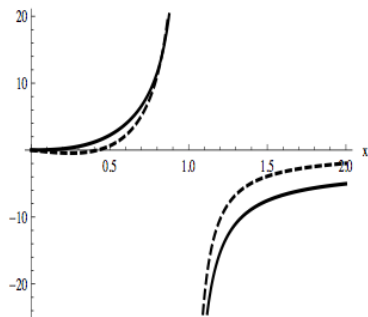
Для глюонов:

$$C_g = \frac{2g^3 N^2}{N + \frac{N_q}{2}}$$

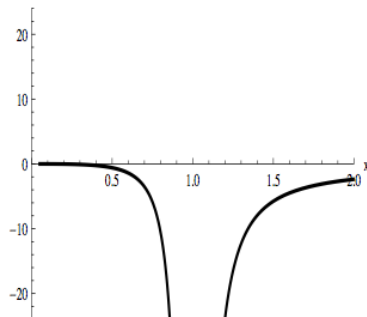
Вклад от глюонов сильнее так как глюоны перенасыщены при малых энергиях (статистика Бозе-Эйнштейна), интеграл по импульсам регуляризуется на дебаевской массе. В электромагнитной плазме этого нет.

График для турбулентных поправок

$\phi^T(x)$ and $\chi^T(x)$



$\phi^L(x)$ and $\chi^L(x)$



Турбулентные поправки к плазмонам

Плазмоны - решения дисперсионных уравнений:

$$\operatorname{Re} \left[\mathbf{k}^2 \left(1 - \frac{\Pi_L(k^0, |\mathbf{k}|)}{\omega^2} \right) \Big|_{k^0 = \omega_L(|\mathbf{k}|)} \right] = 0$$
$$\operatorname{Re} \left[\mathbf{k}^2 - (k^0)^2 + \Pi_T(k^0, |\mathbf{k}|) \Big|_{k^0 = \omega_T(|\mathbf{k}|)} \right] = 0,$$

Ширина размытия плазмонных мод:

$$\Gamma_{T(L)} = \sqrt{-\operatorname{Im}(\Pi_{T(L)})}$$

Дисперсионные уравнения для плазмоннов в турбулентной плазме для $k/\omega_{pl} \ll 1$:

$$\omega_L^2(|\mathbf{k}|)_{\text{turb}} = (\omega_{plL}^{\text{turb}})^2 \left(1 + \frac{3}{5} y_L^2 \right) - \frac{C_g I^2}{6\pi^2} \left(\frac{24}{5} \langle E^2 \rangle + \frac{64}{15} \langle B^2 \rangle \right) y_L^2 + O(y_L^4)$$

$$\omega_T^2(|\mathbf{k}|)_{\text{turb}} = (\omega_{plT}^{\text{turb}})^2 \left(1 + \frac{3}{5} y_T^2 \right) - \frac{C_g I^2}{6\pi^2} \left(\frac{24}{7} \langle E^2 \rangle + \frac{32}{15} \langle B^2 \rangle \right) y_T^2 + O(y_T^4)$$

На предыдущем слайде:

$$y_L = \frac{|\mathbf{k}|}{\omega_{\text{pl L}}^{\text{turb}}}; \quad y_T = \frac{|\mathbf{k}|}{\omega_{\text{pl T}}^{\text{turb}}},$$

и

$$(\omega_{\text{pl L}}^{\text{turb}})^2 = \omega_{\text{pl L}}^2 - \frac{C_g I^2}{6\pi^2} \left(\frac{16}{3} \langle E^2 \rangle + \frac{8}{3} \langle B^2 \rangle \right)$$

$$(\omega_{\text{pl T}}^{\text{turb}})^2 = \omega_{\text{pl T}}^2 - \frac{C_g I^2}{6\pi^2} \left(\frac{128}{15} \langle E^2 \rangle + \frac{8}{3} \langle B^2 \rangle \right).$$